

Ученые зас. МГУ, 1946,  
б. 117, Механика Т. 1,  
с. 109-126.

А. И. ШАТИНСКИЙ

## РАЗРУШЕНИЕ НЕ ВНОДИЕ УПРУГИХ МАТЕРИАЛОВ

В технике, наряду с расчетами на прочность, существенную роль играют расчеты на разрушение тех или иных материалов, необходимое для успешного осуществления технологического процесса. Особо большое значение имеет расчет на разрушение в сельскохозяйственной механике, где большинство процессов связано с разрушением части проходящих через машину материалов.

К сожалению, нет еще достаточно строгой и сколько-нибудь удовлетворительной теории разрушения материалов. Многочисленные теории прочности, применяемые в расчетах упругих систем, теряют силу при приложении их к расчету не вносящих упругих систем, где существенное значение имеют и время действия силы на тело и скорость, с которой эти тела подвергаются деформированию.

В настоящей работе изучаются условия разрушения простейших не вносящих упругих тел в статических и динамических условиях.

### I. Связь между напряжением и деформацией не вносящего упругого тела

Для выражения закона, которому подчиняется деформирование упругих тел, достаточно иметь зависимость между деформацией упругих тел и величинами сил (нагрузок), проподавших эту деформацию. Но этого недостаточно для описания процесса деформирования не вносящих упругих тел, где существенную роль играют также скорости изменения нагрузки и деформаций.

Если имеет место простое растяжение не вносящего упругого бруса, находящегося под напряжением  $\sigma$ , то характерными величинами для процесса деформирования являются, таким образом, помимо напряжения  $\sigma$  и относительного удлинения  $\varepsilon$ , также и их скорости изменений  $\frac{d\sigma}{dt}$  и  $\frac{d\varepsilon}{dt}$ . Примем, что величины  $\sigma$ ,  $\varepsilon$ ,  $\frac{d\sigma}{dt}$  и  $\frac{d\varepsilon}{dt}$  должны удовлетворять некоторому соотношению  $f(\sigma, \varepsilon, \frac{d\sigma}{dt}, \frac{d\varepsilon}{dt}, t) = 0$ , выражающему закон деформирования не вносящего упругого тела. В это соотношение может входить явно и время  $t$ , так как с течением времени свойства тел могут меняться (например, по мере повышения температуры тела).

Простейшей зависимостью типа  $f(\sigma, \varepsilon, \frac{d\sigma}{dt}, \frac{d\varepsilon}{dt}, t) = 0$  является, очевидно, линейная зависимость, не содержащая времени  $t$  в явном виде, т. е.

$$\alpha \frac{d\sigma}{dt} + \beta \varepsilon = \gamma \frac{d\varepsilon}{dt} + \delta \sigma, \quad (1)$$

где  $\alpha$ ,  $\beta$ ,  $\gamma$  и  $\delta$  — физические константы тела.

Свободный член в этой линейной зависимости должен непременно отсутствовать, если принять, что деформации отсутствовали до начала действия сил на тело.

ст. 30

К этой же линейной зависимости можно притянуть, допуская разделяемость функции  $f(\sigma, \varepsilon, \frac{d\sigma}{dt}, \frac{d\varepsilon}{dt}, t)$  в ряд Маклорена, ограничивающийся первыми членами разложения и считая, кроме того, что функция не содержит переменной  $t$ .

Построим модель из вполне упругого тела, подчиняющуюся при деформации простейшему закону (1). Представим себе (фиг. 1) пружину жесткости  $b$ , соединенную последовательно с комбинацией пружины жесткости  $c$ , и поршня, движущегося в сосуде с вязкой жидкостью. Если к свободному концу первой пружины приложить силу  $\sigma$ , а сосуд с вязкой жидкостью вместе со свободным концом второй пружины закрепить, то удлинение вной конструкции составится из двух величин: удлинения  $\varepsilon_1 = \sigma/b$  первой пружины и удлинения второй пружины  $\varepsilon_2 = \sigma/c$ , где сила  $\sigma$  — сила, растягивающая вторую пружину. При неремещении поршня в вязкой жидкости возникает сила сопротивления этому перемещению  $\mu \frac{d\varepsilon_2}{dt}$ , где  $\mu \frac{d\varepsilon_2}{dt}$  — скорость движения поршня, а  $\mu$  — коэффициент сопротивления жидкости и размерами сосуда и поршня.

Если преобразовать инерционным коэффициентом пружин и поршня, то, очевидно,

$$\frac{d\sigma}{dt} + \mu \frac{d\varepsilon_2}{dt} = \sigma - \sigma_1 - \sigma_2 = \sigma - c \varepsilon_2 - b \varepsilon_1 = \sigma - c \varepsilon_2 - b \left( \varepsilon - \varepsilon_1 \right) = \sigma - c \varepsilon_2 - b \left( \varepsilon - \frac{\sigma}{b} \right) = \frac{\sigma}{b} - c \varepsilon_2 - b \frac{\varepsilon}{b} + b \frac{\sigma}{b^2} = \frac{\sigma}{b} - \frac{b + c}{b} \varepsilon + \frac{b \sigma}{b^2} = \frac{\sigma}{b} - \frac{b + c}{b} \varepsilon + \frac{c \sigma}{b} = \frac{c(b + c)}{b} \varepsilon + \frac{\sigma}{b}.$$

Подставляя эти выражения в предыдущее соотношение, получим:

$$\frac{d\sigma}{dt} + \mu \frac{d\varepsilon_2}{dt} = \sigma - c \left( \varepsilon - \frac{\sigma}{b} \right) + \mu \left( \frac{d\varepsilon_2}{dt} - \frac{b + c}{b} \varepsilon \right),$$

$$\frac{d\sigma}{dt} + \mu \frac{d\varepsilon_2}{dt} = \sigma - c \varepsilon + \frac{c \sigma}{b} + \mu \frac{d\varepsilon_2}{dt} - \frac{b + c}{b} \varepsilon,$$

$$\frac{d\sigma}{dt} + \frac{b + c}{b} \varepsilon = \sigma - \frac{c \sigma}{b} + \frac{c \sigma}{b} - \frac{b + c}{b} \varepsilon,$$

$$\frac{d\sigma}{dt} + \frac{b + c}{b} \varepsilon = \sigma - \frac{b + c}{b} \varepsilon,$$

$$\frac{d\sigma}{dt} = \sigma - \frac{2(b + c)}{b} \varepsilon,$$

что совпадает с выражением (1), если соответственно изменить обозначения.

Теперь легко представить себе, что будет происходить с бруском из вполне упругого материала при нагружке его достаточно быстро растягивающей силой. Для этого обратимся к модели. При быстром приложении силы прежде всего растягивается верхняя пружина на величину  $\varepsilon_1 = \sigma/b$ , растяжение же второй пружины начнется постепенно, благодаря тормозящему действию поршня. Спустя достаточно большое время растягивается и вторая пружина на величину  $\varepsilon_2 = \sigma/b$ , так что общая деформация составит величину

$$\varepsilon = \varepsilon_1 + \varepsilon_2 = \left( \frac{1}{b} + \frac{1}{c} \right) \sigma, \quad (3)$$

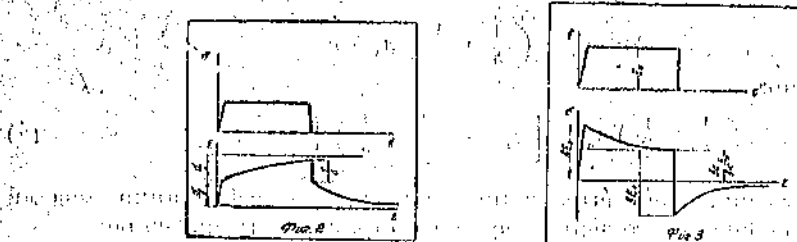
Если же силу  $\sigma$  достаточно быстро снять, то сейчас же исчезнет упругая деформация первой пружины, т. е. величина  $\varepsilon_1$ ; деформация второй пружины  $\varepsilon_2$  вследствие наличия тормозящего действия поршня будет исчезать постепенно.

На фиг. 2 схематически изображены соответствующие графики силы  $\sigma$  и деформации  $\varepsilon$  как функции времени. Описанное явление называется запаздыванием образования деформации при действии на брус растягивающей силы, называемое упругим последствием.

Если же модель быстро растянуть на величину деформации  $\varepsilon$  и затем закрепить, то в первый момент нагруженной окажется лишь первая пружина, и растягивающая ее сила будет, очевидно, равна  $b\varepsilon$ . Вторая же пружина, вследствие наличия тормозящего действия поршня, начнет растягиваться не сразу. По мере ее растяжения первая пружина будет несколько сокращаться, и, следовательно, усилие, возникшее в модели, будет падать.

После достаточно большого промежутка времени обе пружины окажутся нагруженными одинаковой силой  $\sigma$ , которую можно определить из соотношения (3).

Если теперь модель быстро придать первоначальную длину, то в первый момент вторая пружина будет непреклонно растянута, а первая окажется



сжатой; следовательно, вся модель будет нагружена в первый момент сжимающей нагрузкой. Затем с течением времени первая и вторая пружины примут первоначальную длину, и модель окажется разгруженной.

На фиг. 3 схематически изображены соответствующие графики деформации и нагрузки модели. Уменьшение с течением времени напряженности модели при постоянной деформации называется релаксацией.

Все описанные явления могут быть изучены математическим решением дифференциального уравнения модели (2)

$$\frac{d\sigma}{dt} + \frac{b + c}{\mu} \sigma = b \frac{de}{dt} + \frac{bc}{\mu} e. \quad (2)$$

Предположим, например, что в течение весьма малого промежутка времени  $\tau$  сила  $\sigma$  меняется от значения  $\sigma_0$  до значения  $\sigma_1$  и при этом деформация  $e$  изменяется от значения  $e_0$  до значения  $e_1$ .

Пронтегрировав левую и правую части дифференциального уравнения в пределах от  $t=0$  до  $t=\tau$ , получим:

$$\sigma_1 - \sigma_0 + \int_0^\tau \frac{b + c}{\mu} \sigma(t) dt = b(e_1 - e_0) + \int_0^\tau \frac{bc}{\mu} e(t) dt.$$

Так как выражения, стоящие под знаком интеграла в правой и левой частях равенства, ограничены, то значения обоих интегралов тем меньше, чем меньше промежуток времени  $\tau$  изменения величины  $\sigma$  и  $e$ . Считая этот промежуток бесконечно малым, получим:

$$\sigma_1 - \sigma_0 = b(e_1 - e_0),$$

т. е. при очень быстрых изменениях нагрузки деформация изменяется пропорционально изменению нагрузки. Очевидно и обратное заключение: при быстрых деформациях модели возникающее в ней усилие пропорционально изменению деформаций. Так как коэффициентом пропорциональности служит величина  $b$ , то это явление, очевидно, происходит за счет деформирования одной первой пружины.

Пусть к модели приложена постоянная сила  $\sigma_0$  и в некоторый момент времени  $t_0 = 0$ , деформация пружины составляет величину  $\varepsilon_0$ . Так как для этого случая  $\frac{d\sigma}{dt} = 0$ , то имеем:

$$b \frac{d\varepsilon}{dt} + \frac{bc}{\mu} \varepsilon = \frac{b+c}{\mu} \sigma_0,$$

откуда, интегрируя получившееся для величины  $\varepsilon$  линейное дифференциальное уравнение, найдем:

$$\varepsilon = \left( \frac{1}{b} + \frac{1}{c} \right) \sigma_0 + \left[ b \sigma_0 - \frac{bc}{\mu} \sigma_0 \right] e^{-\frac{c}{\mu} t},$$

и так как при  $t=0$   $\varepsilon=\varepsilon_0$ , то

$$\varepsilon_0 = \left( \frac{1}{b} + \frac{1}{c} \right) \sigma_0 + \dot{\varepsilon}_0$$

и окончательно:

$$\varepsilon = \left( \frac{1}{b} + \frac{1}{c} \right) \sigma_0 + \left[ \varepsilon_0 - \left( \frac{1}{b} + \frac{1}{c} \right) \right] e^{-\frac{c}{\mu} t}. \quad (4)$$

Из рассмотрения этого выражения следует, что деформация модели под действием силы в течение времени стремится к значению:

$$\left( \frac{1}{b} + \frac{1}{c} \right) \sigma_0$$

невозможно от первоначальной деформации. Это стремление будет тем энергичнее, чем больше величина  $\frac{c}{\mu}$ , которую следует назвать коэффициентом последействия.

Пусть, наконец, модель подвергнута деформации и закреплена так, что деформация ее составляет постоянную величину  $\varepsilon_0$ . Тогда в модели разовьется некоторое усилие, которое будет изменяться с течением времени (релаксация).

Пусть  $\sigma_0$  — значение этого усилия в некоторый момент времени  $t_0 = 0$ ; тогда, замечая, что для этого случая  $\frac{d\sigma}{dt} = 0$ , получим для определения усилия  $\sigma$  дифференциальное уравнение

$$b \frac{d\sigma}{dt} + \frac{b+c}{\mu} \sigma = \frac{bc}{\mu} \varepsilon_0$$

с начальным условием:  $\sigma = \sigma_0$  при  $t = 0$ .

Интегрируя его, получим:

$$\sigma = \frac{bc}{b+c} \varepsilon_0 + C e^{-\frac{b+c}{\mu} t},$$

причем

$$\sigma_0 = \frac{bc}{b+c} \varepsilon_0 + C$$

и, следовательно,

$$\sigma = \frac{bc}{b+c} \varepsilon_0 + \left( \sigma_0 - \frac{bc}{b+c} \varepsilon_0 \right) e^{-\frac{b+c}{\mu} t}. \quad (5)$$

Таким образом усилие  $\sigma$  в модели, поддерживаемой в постоянном деформированном состоянии, будет стремиться к значению

$$\frac{bc}{b+c} \varepsilon_0,$$

не зависящему от начальных условий процесса. Это стремление будет тем интенсивнее, чем больше величина  $\frac{b+c}{\mu}$ , которую следует назвать коэффициентом релаксации (обратная величина коэффициента релаксации иногда называется периодом релаксации, так как имеет размерность времени). Приведенные математические рассуждения, очевидно, полностью подтверждают синтетические явления, схематически изображенные на фиг. 2 и 3, так как в этих явлениях как раз имеют место вначале (точнее, достаточно быстро) приложение нагрузки или изменение деформации и постоянное действие силы, или, соответственно, поддержание постоянной деформации.

Возвращаясь теперь к закону деформирования по вполне упругого стержня (2), замечаем, что этот закон можно представить в виде

$$\frac{d\sigma}{dt} + r\sigma = b \frac{ds}{dt} + bne, \quad (6)$$

где  $r$ —коэффициенты

$$r = \frac{b+c}{\mu}, \quad n = \frac{c}{\mu}. \quad (7)$$

Коэффициенты  $b$ ,  $r$ ,  $n$  имеют простой физический смысл: константа  $n$  представляет собой коэффициент упругого последствия,  $r$ —коэффициент релаксации напряжений и  $b$ —модуль упругости при быстрых деформирований стержня. Жесткость второй (внутренней) пружины модели с будет соответствовать величина  $\frac{nb}{r-n}$ , а коэффициенту вязкости  $r$ —величина  $\frac{b}{r-n}$ , в чем легко убедиться, решая соотношения (7) относительно  $c$  и  $\mu$ .

Как любопытное следствие отметим, что коэффициент релаксации  $r$  всегда больше коэффициента последствия  $n$ .

## 2. Изгиб по вполне упругого стержня

Обобщение закона по вполне упругого растяжения-сжатия на другие виды деформаций встречает некоторую трудность, поэтому ограничимся лишь элементарной теорией изгиба бруса по вполне упругого материала.

Будем считать так же, как это делается в теории сопротивления материалов, нормальные сечения бруса плоскими и течение всего времени деформирования, а нормальные напряжения, развивающиеся по сечению, подчиняющимся закону (6), где  $\epsilon$ —относительное удлинение волокон бруса. Если плоскость действия изгибающей пары  $M$  совпадает с плоскостью симметрии бруса, то изгиб бруса будет проходить в одной плоскости, и относительное удлинение волокон, находящихся на расстоянии  $y$  от плоскости, расположенной перпендикулярно к плоскости симметрии бруса и проходящей через нижние волокна бруса (фиг. 4), будет составлять величину  $\epsilon = \epsilon_0 + xy$ , где  $\epsilon_0$ —удлинение нижнего волокна и  $x$ —кризиса нейтрального слоя.

Действительно, до деформации длина нижнего волокна  $AB$  равна длине волокна  $C'D'$ , находящегося в расположении  $y$  от плоскости, проходящей через нижнюю подвижную перпендикулярно плоскости симметрии. После деформации изгибание сечения бруса повернется друг относительно друга на некоторый угол  $\Delta\alpha$ , оставив при этом плоскими по предположению. Длины волокон будут теперь уже другие и составят соответственно величины  $A'B'$  и  $C'D'$ .

Очевидно, с точностью до малых высших порядков, имеет место:

$$\epsilon = \frac{C'D' - CD}{CD} = \frac{C'D' - A'B' + A'B' - AB}{AB} = \frac{y\alpha}{AB} + \epsilon_0,$$

а так как  $\frac{\Delta\sigma}{AB} = x$  составляет кривизну нейтрального слоя волокон, то  $\epsilon = \epsilon_0 + xy$ .

Легко теперь показать, что нейтральный слой пройдет через центр тяжести сечения, если на брусе не действуют продольные силы. Действительно, в этом случае  $\iiint \sigma dF = 0$ , где двойной интеграл распространяется по всей площади поперечного сечения бруса, причем напряжение является функцией координат точек сечения и времени. Так как интеграл в течение всего времени изгибаания бруса равен нулю, то

$$\frac{d}{dt} \iiint \sigma dF = \iiint \frac{d\sigma}{dt} dF = 0$$

и, следовательно,

$$\iiint \left( \frac{d\sigma}{dt} + r\sigma \right) dF = 0.$$

Далее, согласно, (6)  $\frac{d\sigma}{dt} + r\sigma = b \frac{ds}{dt} + b\nu\epsilon$ , и таким образом

$$\iiint \left( \frac{ds}{dt} + n\epsilon \right) dF = 0.$$

Подставляя сюда  $\epsilon = \epsilon_0 + xy$  и  $\frac{ds}{dt} = \frac{d\epsilon_0}{dt} + \frac{dx}{dt}y$ , получим:

$$\left( \frac{d\epsilon_0}{dt} + n\epsilon_0 \right) \iiint dF + \left( \frac{dx}{dt} + nx \right) \iiint y dF = 0,$$

так как  $\epsilon_0, \frac{d\epsilon_0}{dt}, x$  и  $\frac{dx}{dt}$  — постоянные по отношению к процессу интегрирования по площади.

Замечая, что  $\iiint y dF = y_c F$ , где  $y_c$  — ордината центра тяжести сечения, имеем:

$$\frac{d\epsilon_0}{dt} + \frac{dx}{dt} y_c + n(\epsilon_0 + xy_c) = 0, \quad (8)$$

где  $\epsilon_0 + xy_c = \epsilon_c$  представляет собой относительное удлинение волокна, лежащего в слое волокон, проходящем через центр тяжести сечения.

Таким образом  $\frac{d\epsilon_c}{dt} + n\epsilon_c = 0$ , откуда  $\epsilon_c = Ce^{-nt}$ , и если в начальный момент имело место  $\epsilon_c = 0$ , то оно остается и в дальнем.

Следовательно, нейтральный слой при поперечном изгибе не вполне упругого стержня проходит через центр тяжести сечения. Чтобы подсчитать изгибающий момент в каком-либо сечении, достаточно вычислить интеграл  $M = \iiint \sigma y dF$ . При этом изгибающий момент  $M$  окажется также и функцией времени, причем

$$\frac{dM}{dt} = \iiint \frac{d\sigma}{dt} y dF.$$

Будем составлять выражение

$$\frac{dM}{dt} + rM = \iiint \left( \frac{d\varepsilon}{dt} + r\varepsilon \right) y dF,$$

то, подставляя сюда  $\frac{d\varepsilon}{dt} + r\varepsilon = b \frac{dx}{dt} + b \varepsilon_0$  и заменив, что  $\varepsilon = \varepsilon_0 + xy$  и  $\frac{dx}{dt} = \frac{dx_0}{dt} + \frac{dx}{dt}$ , получим:

$$\frac{dM}{dt} + rM = b \left( \frac{dx_0}{dt} + n\varepsilon_0 \right) \iiint y dF + b \left( \frac{dx}{dt} + nx \right) \iiint y^2 dF,$$

а так как, согласно (5)  $\frac{dx_0}{dt} + n\varepsilon_0 = -\left( \frac{dx}{dt} + nx \right) y_0$ , то

$$\frac{dM}{dt} + rM = b \left( \frac{dx}{dt} + nx \right) (I_0 - y_0^2 F).$$

Выражение  $I_0 - y_0^2 F = I$  представляет собой момент инерции плюнгера сечения относительно центральной оси, расположенной в лейтальном слое сечения.

Окончательно имеем следующую зависимость между изгибающим моментом и кривизной лейтального слоя полокон стержня:

$$\frac{dM}{dt} + rM = bI \frac{dx}{dt} + bIx_n. \quad (9)$$

При малых деформациях можно принять, как и в теории сопротивления материалов:

$$x = \frac{d^2 v}{dx^2},$$

где  $v$  — смещение сечения в направлении, нормальному к недеформированной оси балки, принятой за ось  $x$ . При этом можно развить теорию интегрирования упругой линии стержня, аналогичную в некоторых случаях обычной теории сопротивления материалов.

Ограничимся рассмотрением простейшего примера изгиба балки на не вполне упругого материала, лежащей на двух опорах и нагруженной грузом посередине. Из условий  $v = 0$  при  $x = 0$  и  $x = l$  следует, что в тех же точках

$$\psi = \frac{dv}{dx} + nv = 0.$$

Точно так же можно показать, что по середине балки, т. е. при  $x = \frac{l}{2}$ , имеет место  $\frac{dw}{dx} = 0$ .

Далее, изгибающий момент в каком-либо сечении левой половины балки имеет выражение

$$M = \frac{1}{2} P x$$

и, следовательно,

$$\frac{dM}{dt} = \frac{1}{2} \frac{dP}{dt} x.$$

Таким образом получим  $\frac{dM}{dt} + rM = \frac{1}{2} Qx$ , где введено обозначение

$$Q = \frac{dP}{dt} + rP.$$

Замечая теперь, что

$$bf \frac{dx}{dt} + bI nx = bI \frac{d^2w}{dx^2},$$

получим из дифференциального уравнения изгиба бруса (9) соотношение

$$bI \frac{d^2w}{dx^2} = \frac{1}{2} Qx,$$

для левой половины балки и

$$bI \frac{d^2w}{dx^2} = \frac{1}{2} Q(l-x)$$

для правой.

Эти соотношения ничем не отличаются от уравнений сопротивления материалов для случая нагруженной по середине балки, если только вместо прогиба подставить функцию  $w$  и вместо силы, вызывающей изгиб, — величину  $Q$ . Так как и граничные условия остаются такими же, как в сопротивлении материалов, то, интегрируя получившиеся два дифференциальных уравнения, найдем следующее значение величины  $w$  в середине балки (т. е. при  $x = \frac{l}{2}$ ):

$$\frac{Ql^3}{48EI},$$

откуда, подставляя значения  $w$  и  $Q$ , получим соотношение между прогибом  $f$  по середине балки и изгибающим упругого материала и силой  $P$ , вызывающей этот прогиб:

$$\frac{df}{dt} + rf = \frac{48EI}{P} \left( \frac{df}{dt} + nf \right). \quad (10)$$

Это соотношение аналогично закону (4), выражающему связь между напряжением и деформацией при простом растяжении.

Максимальное напряжение при изгибе определяется по обычным формулам сопротивления материалов. Действительно, из гипотезы плоских сечений следует  $\sigma = E \epsilon$ , где  $\epsilon_0$  — удлинение центрального слоя, а из условия прохождения нейтрального слоя через центр тяжести следует  $0 = x_0 - x_d$ . Используя на обеих начальных равенств величину  $\epsilon_0$ , получим

$$\sigma = x(y - y_0) \quad \text{и} \quad \frac{dx}{dt} = \frac{ds}{dt}(y - y_0)$$

и, следовательно,

$$\frac{ds}{dt} + rs = b(y - y_0) \left( \frac{dx}{dt} + nx \right).$$

Так как при  $t = 0$  балка была несогружена и, значит, имела место  $\sigma = 0$ , то интеграл написанного выше уравнения, как легко проверить, имеет вид:

$$\sigma = e^{-rt} \int_0^t e^{rt} b(y - y_0) \left( \frac{dx}{dt} + nx \right) dt,$$

откуда следует, что в зависимости от  $y$  напряжения меняются по линейному закону, обращаясь в нуль в центральном слое, т. е. так же, как и в обычной теории сопротивления материалов.

Таким образом

$$\sigma = \frac{M}{I} (y - y_c),$$

где  $y - y_c$  — расстояние слоя рассматриваемых волокон от нейтрального слоя.

### 3. Гипотезы разрушения по вполне упругого материала

Приятие двух упругих началь, соответственно двум пружинам и модели, позволяет предполагать, что возможны два вида разрушения бруса из не вполне упругого материала при растяжении. Первому разрушению соответствует разрыв первой пружины модели. Это разрушение наименее опасным; оно будет иметь место, когда приращение или достижение модулем растягивающей силы  $\sigma$ , превышает некоторое предельное напряжение  $\sigma_b$ .

Второму разрушению соответствует разрыв второй пружины модели; назовем его внутренним. Всякая второй пружины будет иметь место, когда приходящееся на нее усилие превысит некоторое предельное значение  $\sigma_s$ . Удлинение  $\epsilon_2$  второй пружины составляет величину  $\epsilon - \epsilon_1$ , где  $\epsilon_1 = \sigma/b$  — удлинение первой пружины. Так как усилие, возникающее во второй пружине, равно

$$\sigma_s = c\epsilon_2 = c\left(\epsilon - \frac{\sigma}{b}\right), \quad (c = \frac{bn}{r-n}),$$

то ее разрушение наступит при выполнении условия

$$c\left(\epsilon - \frac{\sigma}{b}\right) > \sigma_b. \quad (11)$$

Обозначив  $\frac{\sigma_b}{c} = \frac{\sigma_b(r-n)}{bn}$  через  $\epsilon_b$ , можно записать последнее условие разрушения следующим образом:

$$\epsilon - \frac{\sigma}{E} < \epsilon_b,$$

причем левая часть, очевидно, соответствует удлинению второй пружины модели.

Для большей наглядности в дальнейшем будем рассматривать лишь условия разрушения модели. Таким образом разрушение будет иметь место при выполнении одного из следующих условий:

$$\sigma > \sigma_b, \quad c\left(\epsilon - \frac{\sigma}{b}\right) > \sigma_s.$$

Так как усилие, возникающее во второй пружине, всегда меньше усилий, возникающего в первой пружине, то внутреннее разрушение модели, т. е. выполнение второго условия, возможно лишь при  $\sigma_s < \sigma_b$ , что мы и будем предполагать в дальнейшем.

Можно указать предельное удлинение модели, при достижении которого напрежмешо произойдет разрушение. Действительно, наибольшее удлинение первой пружины, не вызывающее ее разрушения  $\epsilon_1 = \sigma_b/b$ , тогда как у второй пружины будет соответственно  $\epsilon_2 = \sigma_s/c$ . Поэтому

$$\epsilon = \epsilon_1 + \epsilon_2 = \frac{\sigma_b}{b} + \frac{\sigma_s}{c}$$

наибольшее из всех возможных удлинений модели без разрушения. В действительности разрушение может произойти и при меньшем удлинении, но не ниже, конечно, значения  $\epsilon = \sigma_s/b$ , если  $\sigma_s < \sigma_b$ .

#### 4. Разрушение постоянной силой

Если к модели приложена сила, превышающая значение  $\sigma_b$ , то разрушение происходит немедленно (внешнее разрушение). Если сила меньше предельного значения  $\sigma_b < \sigma_s$ , то разрушения вообще не произодет. Наконец, если величина силы попадет в промежуточный между значениями  $\sigma_s$  и  $\sigma_b$ , то разрушению будет внутренним и произойдет спустя некоторое время после приложения нагрузки.

Ранее уже было найдено, что под постоянной нагрузкой  $\sigma_0$  модель деформируется по закону (4):

$$\epsilon = \left( \frac{1}{b} + \frac{1}{c} \right) \sigma_0 + \left[ \epsilon_0 - \left( \frac{1}{b} + \frac{1}{c} \right) \right] e^{-\frac{c}{b} t},$$

что получилось в результате интегрирования дифференциального уравнения, связывающего величину деформации  $\epsilon$  и усилие  $\sigma$  при начальном условии  $\epsilon = \epsilon_0$  при  $t = 0$ . Здесь

следует принять  $\epsilon_0 = \frac{\sigma_0}{b}$ , потому что сила, приложенная к деформированной модели, вызывает немедленное удлинение  $\epsilon_0$  первой пружины. Получим:

$$\epsilon = \left( \frac{1}{b} + \frac{1}{c} \right) \sigma_0 - \frac{\sigma_0}{c} e^{-\frac{c}{b} t}.$$

Подставляя это выражение в неравенство (11), получим условие

$$\sigma_0 \left( 1 - e^{-\frac{c}{b} t} \right) > \sigma_s,$$

которое будет удовлетворено, если значение времени  $t$  превысит величину

$$t_s = \frac{b}{c} \ln \frac{\sigma_b}{\sigma_b - \sigma_s}.$$

Примерный график зависимости между моментом  $t_s$  наступления разрушения и величиной нагрузки представлен на фиг. 5. Так как при  $\sigma_0 = \sigma_b$  наступает уже внешнее разрушение, то при  $\sigma_0 > \sigma_b$  ордината кривой графика обращается в пуль, т. е. разрушение наступает мгновенно. Если  $\sigma_0 < \sigma_b$ , то разрушение наступает в момент времени  $t_s$ , всегда превышающий значение

$$\frac{b}{c} \ln \frac{\sigma_b}{\sigma_b - \sigma_s}.$$

Значение  $t_s$  становится бесконечно большим при  $\sigma_0 = \sigma_s$ , что очевидно.

Факт разрушения материалом спустя некоторое время после приложения нагрузок экспериментально подтверждается.

#### 5. Разрушение внезапно вызванной деформацией

При внезапно вызванной деформации  $\epsilon_0$  в первый момент времени окажется нагруженной лишь первая пружина и, следовательно, усилие, возникшее в модели, будет составлять величину

$$\sigma_0 = b\epsilon_0.$$

Ранее был получен закон (5):

$$\sigma = \frac{bc}{b + c} e_0 + \left( a_0 - \frac{bc}{b + c} e_0 \right) e^{-\frac{b+c}{\mu} t}$$

изменения усилия, возникшего в модели при условии постоянства деформации  $e = e_0$ . Положим  $\sigma_0 = be_0$ , получим:

$$\sigma = \frac{bc}{b + c} e_0 + \frac{b^2}{b + c} e_0 e^{-\frac{b+c}{\mu} t}$$

Если  $be_0 > \sigma_b$ , то, очевидно, произойдет внешнее разрушение модели немедленно после внезапного деформирования. Если же  $be_0 < \sigma_b$ , то разрушение может быть лишь внутренним, для чего необходимо выполнение условия:

$$c \left( e - \frac{\sigma}{b} \right) = c \left( e_0 - \frac{c}{b + c} e_0 - \frac{b}{b + c} e_0 e^{-\frac{b+c}{\mu} t} \right) > \sigma_s$$

или, производя упрощения:

$$\frac{bc}{b + c} e_0 \left( 1 - e^{-\frac{b+c}{\mu} t} \right) > \sigma_s.$$

Левая часть неравенства возрастает при неограниченном увеличении значения времени  $t$ , но остается меньшее значения

$$\frac{bc}{b + c} e_0.$$

Поэтому, чтобы разрушение наступило, необходимо иметь

$$e_0 > \frac{b + c}{bc} \sigma_s.$$

Момент времени разрушения  $t_s$  при выполнении этого условия определяется из равенства

$$e_0 \frac{bc}{b + c} \left( 1 - e^{-\frac{b+c}{\mu} t_s} \right) = \sigma_s.$$

Таким образом

$$t_s = \frac{\mu}{b + c} \ln \frac{1}{1 - \frac{b + c}{bc} \frac{\sigma_s}{e_0}}.$$

Факт разрушения материалов спустя некоторое время после деформирования подтвержден также экспериментально.

## 6. Разрушение различным деформированием

Если деформацию модели производить по закону  $e = vt$ , то усилие, возникающее в модели, можно определить, интегрируя уравнение (2)

$$\frac{d\sigma}{dt} + \frac{b + c}{\mu} \sigma = b \frac{de}{dt} + \frac{bc}{\mu} e.$$

Так как  $\dot{\epsilon} = \dot{v}t$  и, следовательно,  $\frac{ds}{dt} = v$ , то общий интеграл этого уравнения имеет следующий вид:

$$\sigma = Ce^{-\frac{b+c}{\mu}t} + \frac{bc}{b+c}vt - \frac{b^2}{(b+c)^2}\mu v,$$

причем константа  $C$  определяется из условия обращения в нуль усилия в начальный момент времени. Следовательно,

$$\sigma = \frac{b^2\mu v}{(b+c)^2} \left( 1 - e^{-\frac{b+c}{\mu}t} \right) + \frac{bcv}{b+c}t. \quad (12)$$

Внешнее разрушение наступит в момент  $t_b$ , при котором будет иметь место равенство:

$$\frac{b^2\mu v}{(b+c)^2} \left( 1 - e^{-\frac{b+c}{\mu}t_b} \right) + \frac{bc}{b+c}vt_b = \sigma_b. \quad (13)$$

Однако может случиться и так, что внутреннее разрушение наступит в более ранний момент времени  $t_s$ . Так как условием внутреннего разрушения является удовлетворение неравенства (11)

$$c \left( e - \frac{c}{b} \right) > \sigma_s,$$

то момент времени внутреннего разрушения  $t_s$  определяется из уравнения:

$$b \left[ vt_s - \frac{b}{(b+c)^2}\mu v \left( 1 - e^{-\frac{b+c}{\mu}t_s} \right) - \frac{c}{b+c}vt_s \right] = \sigma_s,$$

или после очевидного упрощения:

$$\frac{bcv}{b+c}t_s - \frac{bc}{(b+c)^2}\mu v \left( 1 - e^{-\frac{b+c}{\mu}t_s} \right) = \sigma_s. \quad (14)$$

Как легко усмотреть из уравнений, определяющих моменты разрушения  $t_b$  и  $t_s$ , внутреннее разрушение может произойти, если  $\sigma_s < \sigma_b$  и если, кроме того, скорость деформирования достаточно мала. При достаточно большой скорости деформирования, наоборот, всегда будет иметь место внешнее разрушение.

Можно подсчитать работу, которую совершил внешняя сила, производя разрушение. Так как элементарное перемещение точки приложении силы  $\sigma$  составляет величину  $v dt$ , то работа разрушения представляется интегралом

$$A = \int_0^t \sigma v dt.$$

Верхний предел  $t$  следует полагать равным наименьшему из чисел  $t_s$  и  $t_b$ .

Чтобы произвести физический подсчет работы, вытращиваемой на разрушение, и оценить влияние скорости на величину работы, перейдем к безразмерным величинам. Для этой цели введем прежде всего безразмерную величину  $\tau$ , связывающую с временем  $t$  соотношением

$$\tau = \frac{b+c}{\mu} t.$$

Тогда видим, что уравнение (13) будет иметь вид:

$$\sigma = \frac{bc}{(b+c)^2} \mu^2 \left[ \frac{b}{c} (1 - e^{-\tau_b}) + \tau_b \right].$$

Моменту наступления внешнего разрушения  $t_b$  будет соответствовать некоторое значение величины  $\tau_b$ , согласно (13) из уравнения

$$v \left[ \frac{b}{c} (1 - e^{-\tau_b}) + \tau_b \right] = v_b, \quad (15)$$

т.е.

$$v_b = \frac{(b+c)^2 \sigma_b}{bc \mu}. \quad (16)$$

Точно так же величина  $\tau_s$ , соответствующая моменту наступления внутреннего разрушения  $t_s$ , определяется согласно (14) из равенства

$$v (\tau_s - 1 + e^{-\tau_s}) = v_s, \quad (17)$$

т.е.

$$v_s = \frac{(b+c)^2 \sigma_s}{bc \mu}. \quad (18)$$

Выражение для работы, расходуемой на разрушение, примет вид:

$$\begin{aligned} A &= \int_0^\infty \sigma v dt = \int_0^\infty \frac{bc}{(b+c)^2} \mu^2 \left[ \frac{b}{c} (1 - e^{-\tau}) + \tau \right] \frac{\mu v}{b+c} d\tau = \\ &= \frac{\mu^2 n^2 bc}{(b+c)^2} \left[ \frac{b}{c} (\tau + e^{-\tau} - 1) + \frac{\tau^2}{2} \right], \end{aligned} \quad (19)$$

причем вместо  $\tau$  следует подставить наименьшую из величин  $\tau_b$  и  $\tau_s$ .

Следует отметить два крайних случая: 1) деформирование с очень большой скоростью  $v$ , 2) деформирование с очень малой скоростью. При большом значении  $v$  разрушение будет наступать очень скоро и, следовательно, значение величины  $\tau_b$  будет весьма малым. Поэтому, замечая, что

$$e^{-\tau} = 1 - \tau + \frac{\tau^2}{2} - \frac{\tau^3}{6} + \dots$$

можно уравнение (15) для определения величины  $\tau_b$  записать приближенно так:

$$\left[ \frac{b}{c} (1 - e^{-\tau_b}) + \tau_b \right] \approx v \left( \frac{b}{c} + 1 \right) \tau_b = v_b,$$

откуда

$$\tau_b = \frac{v_b}{v(b+c)}. \quad (20)$$

Заметим, что величина  $\tau_s$ , соответствующая внутреннему разрушению, будет в этом случае значительно больше. Действительно, уравнение для определения  $\tau_s$  можно записать так:

$$v \left( \tau_s - 1 + 1 - \tau_s + \frac{1}{2} \tau_s^2 - \frac{1}{6} \tau_s^3 + \dots \right) = v_s.$$

Пренебрегая малыми третьего порядка и выше, получим:

$$\tau_s \approx \sqrt{\frac{2v_s}{v}}.$$

Составив отношение  $\tau_b$  и  $\tau_s$ , имеем:

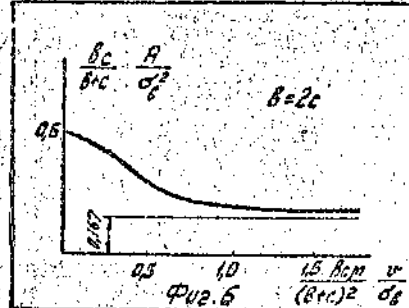
$$\frac{\tau_b}{\tau_s} = \frac{v_b c}{(b+c) \sqrt{2v_b^2 + v_b^2}}$$

Отсюда определяется и то, что при достаточно большой скорости деформированной вязкой модели будет пропорционально меньшей  $\tau_b$ .

Для малых значений  $v$  выражение работы (40), расходуемой на разрывание, можно записать так:

$$A = \frac{ba\mu^2 v^2}{(b+c)^3} \left[ \frac{b}{c} \left( v + 1 - \tau + \frac{1}{2} \tau^2 - \frac{1}{6} \tau^3 + \dots \right) + \frac{1}{2} \tau^2 \right] \approx \\ \approx \frac{ba\mu^2 v^2}{(b+c)^3} \left( \frac{b}{c} + 1 \right) \frac{\tau^2}{2}$$

Подставляя сюда вместо  $\tau$  величину  $\tau_b$  согласно (20) и учитывая (16), получим, произведя сокращения,



Чтобы подсчитать работу, потребную на внешнее разрушение при не слишком больших скоростях, следует, очевидно, совместно решить уравнения (15) и (49); т. е.:

$$v \left[ \frac{b}{c} (1 - e^{-\tau_b}) + \tau_b \right] = v_b = \frac{(b+c)^2 \sigma_b}{bc \mu}, \\ v^2 \left[ \frac{b}{c} (\tau_b + e^{-\tau_b}) + \frac{1}{2} \tau_b^2 \right] = a = \frac{(b+c)^3 A}{ba \mu^2},$$

включая из них  $\tau_b$  и находят работу  $A$  как функцию скорости. Для практических целей проще выделять частными значениями  $\tau_b$  и, определив по ним значение скорости  $v$  из первого уравнения, подсчитывать по второму уравнению соответствующее этой скорости значение работы  $A$ .

На фиг. 6 даны графические зависимости между безразмерными величинами:

$$\frac{v}{v_b} = \frac{bc \mu}{(b+c)^2 \sigma_b} = \left[ \frac{b}{c} (1 - e^{-\tau_b}) + \tau_b \right]^{-1}, \\ \frac{a}{v_b^2} = \frac{bc A}{b+c \sigma_b^2} = \frac{+ \frac{b}{c} (\tau_b + e^{-\tau_b} - 1) + \frac{1}{2} \tau_b^2}{\left[ \frac{b}{c} (1 - e^{-\tau_b}) + \tau_b \right]^2},$$

при частном значении отношения  $\frac{b}{c} = 2$ .

Не представляет труда построить соответствующие графики и для других значений отношения  $\frac{b}{c}$  и, кроме того, произвести по ним пересчеты на величины скоростей  $v$  и соответствующие величины работы  $A$ , если известны константы  $b$ ,  $c$ ,  $\mu$  и  $\sigma_b$ .

График, изображенный на фиг. 6, несетает быть справедливым при достаточно малом значении скорости  $v$ , так как вместо внешнего разрушения при малой скорости деформирования будет разрушение внутреннее. Действительно, в этом случае величина  $\tau_b$  будет велика, и согласно (15) можно записать:

$$v_b = v \left[ \frac{b}{c} (1 - e^{-\tau_b}) + \tau_b \right] = v \left( \frac{c}{b} + \tau_b \right) \text{ и } \tau_b = \frac{v_b}{v} - \frac{c}{b},$$

тогда как для величины  $\tau_s$  из (15) получим:

$$v_s = v (\tau_s - 1 + e^{-\tau_s}) \approx v (\tau_s - 1) \text{ и } \tau_s = \frac{v_s}{v} + 1.$$

Очевидно, будет иметь место  $\tau_s < \tau_b$ , если  $v_b > v_s + \left(1 + \frac{c}{b}\right)v$ , т. е. если  $\sigma_s < \sigma_b$  и значение  $v$  достаточно мало.

Можно ограничиться для величины  $\tau_s$  значением  $\frac{v_s}{v}$ , которое будет тем точнее, чем меньшая скорость деформирования  $v$ . Далее, величина работы  $A$ , затраченной на разрушение, выразится при этом согласно (49) приближенно так:

$$A = \frac{\mu^2 v^2 bc}{(b+c)^3} \left[ \frac{b}{c} (\tau_s + e^{-\tau_s} - 1) + \frac{1}{2} \tau_s^2 \right] \approx \frac{bc \mu^2 v^2}{(b+c)^3} \frac{\tau_s^2}{2}.$$

Подставляя сюда

$$\tau_s \approx \frac{v_s}{v} = \frac{(b+c)^2}{bc} \frac{\sigma_s}{\mu v},$$

получим:

$$A \approx \left( \frac{1}{b} + \frac{1}{c} \right) \frac{\sigma_s^2}{2}.$$

То же можно было усмотреть непосредственно, так как приведенная выше величина представляет работу, которую нужно затратить для растяжения обеих пружин до создания в них усилия  $\sigma_s$ ; при этом потери на сопротивление поршня в вязкой жидкости ничтожно малы вследствие чрезвычайно малой скорости деформирования.

Чтобы подсчитать работу, потребную на разрушение при не слишком малой скорости деформирования, следует, очевидно, совместно решать два уравнения (17) и (49), т. е.

$$v (\tau_s - 1 + e^{-\tau_s}) = v_s = \frac{(b+c)^2 \sigma_s}{bc \mu},$$

$$v^2 \left[ \frac{b}{c} (\tau_s + e^{-\tau_s} - 1) + \frac{1}{2} \tau_s^2 \right] = a = \frac{(b+c)^3 A}{bc \mu^3},$$

из которых можно по заданной величине скорости  $v$  подсчитать величину работы  $A$ .

Замечая аналогично предыдущему, что

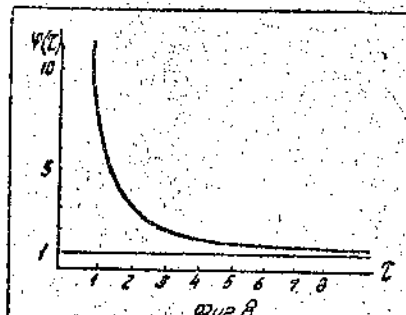
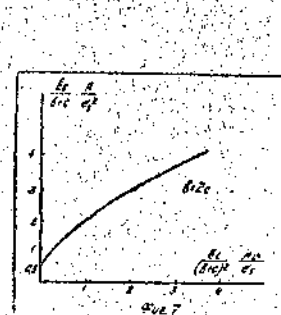
$$\frac{v}{v_b} = (\tau_b - 1 + e^{-\tau_b})^{-1} \text{ и } \frac{a}{v_b^2} = \frac{\frac{b}{c} (\tau_b + e^{-\tau_b} - 1) + \frac{1}{2} \tau_b^2}{(\tau_b - 1 + e^{-\tau_b})^2},$$

можно, подаваясь новыми зависимостями, частными от зависимостей  $\tau_b$ , построить графическую зависимость между бифункциями величинами

$$\frac{v}{v_b} = \frac{bc \mu}{(b+c)^3 \sigma_b} \quad \text{и} \quad \frac{a}{v_b^2} = \frac{bc \mu A}{b+c \sigma_b^2},$$

отправляясь от которых, легко перейти к зависимости работы  $A$  от скорости деформирования  $v$ .

На фиг. 7 построен такой график для значения отношения  $\frac{b}{c} = 2$ . Этот график справедлив лишь для достаточно малых скоростей деформирования, так как при больших скоростях происходит уже внешнее



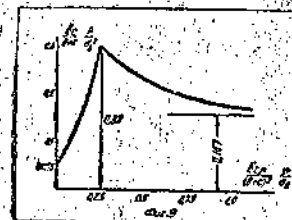
разрушение, и тогда следует пользоваться графиком, изображенным на фиг. 6.

Значение скорости деформирования, отделяющее область внутреннего разрушения от внешнего, можно найти, решая совместно два уравнения (15) и (17):

$$v \left[ \frac{b}{c} (1 - e^{-\tau_b}) + \tau_b \right] = v_b$$

$$v (\tau_s - 1 + e^{-\tau_s}) = v_s,$$

где следует положить  $\tau_b = \tau_s$ . Так, например, если попрежнему  $\frac{b}{c} = 2$  и, кроме того,  $a_b = 3\sigma_s$ , то будем иметь:



$$\frac{v_b}{v_s} = \frac{\sigma_b}{\sigma_s} = 3$$

и, следовательно,

$$\varphi(\tau) = \frac{2(1 + e^{-\tau}) + \tau}{\tau + 1 + e^{-\tau}} = 3.$$

График функции  $\varphi(\tau)$  изображен на фиг. 8.

Значение 3 функция  $\varphi(\tau)$  принимает при  $\tau = 2,23$ . Графическое значение скорости оказывается равным

$$v = \frac{v_b}{\frac{b}{c}(1 - e^{-\tau_b}) + \tau_b} \approx 0,25 v_b.$$

Так как для приведенного примера

$$\frac{v}{v_b} = \frac{1}{3} \frac{v}{v_s},$$

то кривую зависимости работы, идущей на разрушение, от скорости деформирования  $v$ , точнее — кривую зависимости между безразмерными величинами

$$\frac{v}{v_b} = \frac{b \sigma_b - \sigma}{(b + a)^2 \sigma_b} \quad \text{и} \quad \frac{a}{v_b} = \frac{b \sigma \cdot A}{b + a \sigma_b}$$

могло построить, соответственно изменению масштаба кривой внутреннего разрушения, изображенной на фиг. 7, и соединить ее с кривой внешнего разрушения (см. фиг. 6). Получающаяся кривая изображена на фиг. 9. Левая ее часть соответствует внутреннему разрушению, правая внешнему, а абсцисса точки излома кривой — граничному значению скорости.

Подобным же образом можно описать процесс разрушения и при изгибе. При этом изменяются бы лишь константы основного уравнения, так как уравнения (4) и (10) вполне аналогичны.

### 7. Разрушение динамической нагрузкой

Пусть стержень из не вполне упругого материала подвергается действию растягивающего удара со стороны массы  $m$ , обладающей скоростью  $v$  (фиг. 10). Если преигнорировать влиянием собственной массы стержня, то напряжениене и деформированное состояния по его длине будут однородными.

Напряжение  $\sigma$  материала будет составлять величину  $-\frac{m d^2 u}{F dt^2}$ , где  $F$  — площадь сечения стержня,  $u$  — перемещение правого конца стержня. Так как

$$\frac{u}{t} = \varepsilon, \quad \text{то} \quad \sigma = -\frac{m l d^2 \varepsilon}{F dt^2}$$

С другой стороны, напряжение  $\sigma$  и относительное удлинение  $\varepsilon$  не вполне упругого стержня связаны соотношением (4)

$$\frac{d\sigma}{dt} + r\sigma = b \frac{d\varepsilon}{dt} + b n \varepsilon.$$

Подставляя сюда выражение для  $\sigma$ , получим дифференциальное уравнение для определения относительного удлинения  $\varepsilon$ :

$$\frac{ml d^2 \varepsilon}{F dt^2} + \frac{ml}{F} r \frac{d^2 \varepsilon}{dt^2} + b \frac{d\varepsilon}{dt} + bn\varepsilon = 0.$$

Так как в момент удара относительное удлинение  $\varepsilon$  и напряжение  $\sigma$  равны нулю, то, принимая этот момент за начало отсчета времени и замечая, что  $\frac{d\varepsilon}{dt} = \frac{1}{l} \frac{du}{dt}$ , получим для момента времени  $t = 0$ :

$$\varepsilon = 0, \quad \frac{d\varepsilon}{dt} = \frac{v}{l}, \quad \frac{d^2 \varepsilon}{dt^2} = 0,$$

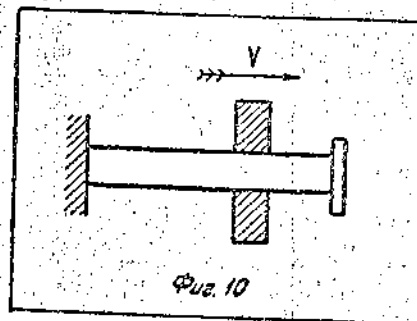
что и составит начальные условия дифференциального уравнения. Общий интеграл этого уравнения имеет вид:

$$\varepsilon = C_1 e^{\gamma_1 t} + C_2 e^{\gamma_2 t} + C_3 e^{\gamma_3 t},$$

где  $\gamma_1, \gamma_2, \gamma_3$  — корни характеристического уравнения

$$\gamma^3 + r\gamma^2 + \frac{b}{ml} (\gamma + n) = 0.$$

Все коэффициенты этого уравнения положительны, следовательно, корни не могут быть положительными. Поэтому возможны два случая:



Фиг. 10

или все три корня отрицательны, или один корень отрицателен, а два другие—сопряжено комплексные. Покажем, что в последнем случае действительная часть комплексных корней отрицательна.

Действительно, характеристическое уравнение можно переписать в виде:

$$a_0\gamma^3 + a_1\gamma^2 + a_2\gamma + a_3 = 0,$$

где  $a_0 = 1$ ,  $a_1 = r$ ,  $a_2 = \frac{bF}{ml}$ ,  $a_3 = \frac{bF}{ml}n$ , причем (условие Раяса—Гурвица)

$$a_1a_3 - a_0a_2 = \frac{bF}{ml}(r-n) > 0,$$

выполняется, так как ранее было показано, что коэффициент релаксации  $r = \frac{b+e}{\mu}$  больше коэффициента последействия  $n = \frac{e}{\mu}$ .

В обоих упомянутых случаях с течением времени относительное удлинение, в начальный момент возраставшее, так как  $\dot{\epsilon}_0 = \frac{v}{l} > 0$ , будет в дальнейшем уменьшаться (либо апериодически—в том случае, когда все три корня характеристического уравнения отрицательны, либо будут иметь место затухающие колебания массы, производившей удар). При этом предполагается, что масса, производившая удар, остается после удара связанный с концом стержня.

Из начальных условий следует:

$$0 = C_1 + C_2 + C_3,$$

$$\frac{v}{l} = \gamma_1 C_1 + \gamma_2 C_2 + \gamma_3 C_3,$$

$$0 = \gamma_1^2 C_1 + \gamma_2^2 C_2 + \gamma_3^2 C_3.$$

Решая систему линейных уравнений, получим:

$$C_1 = v \frac{\gamma_2^2 - \gamma_3^2}{(\gamma_1 - \gamma_2)(\gamma_2 - \gamma_3)(\gamma_3 - \gamma_1)},$$

$$C_2 = v \frac{\gamma_3^2 - \gamma_1^2}{(\gamma_1 - \gamma_2)(\gamma_2 - \gamma_3)(\gamma_3 - \gamma_1)},$$

$$C_3 = v \frac{\gamma_1^2 - \gamma_2^2}{(\gamma_1 - \gamma_2)(\gamma_2 - \gamma_3)(\gamma_3 - \gamma_1)}.$$

При этом для разных значений массы будут получаться различные значения минимальных разрушающих скоростей и различные значения кинетической энергии  $\frac{mv^2}{2}$ .

Может быть и так, что для одной и той же массы получатся две минимальные скорости—одна сравнительно небольшая, соответствующая внутреннему разрушению, и другая—значительно большая, соответствующая внешнему разрушению. Приведенные выше формулы слишком блокиры, чтобы можно было исследовать математически этот вопрос в общем виде.